

И. М. 布 洛 赫 著

偶极电剖面法

地质出版社

偶极电剖面法

(地質填图、找矿和勘探指南)

I. M. 布 洛 赫 著

吳榮祥 譯 聞殿輝 校

地質出版社

1959·北京

и. м. блок
Дипольное
Электропрофилирование
Госгеолтехиздат
Москва 1957.

偶极剖面法在苏联正广泛用在地質填图和找矿工作中，并且效果良好，值得在我国推广。

本書总结了逐步来苏联用此法的經驗。書中詳尽地介绍了偶极剖面法的數理基础、应用于填图的可能性、具体的方法技术，一直到組織和整理結果、编写报告，書后并附有“偶极电剖面理論曲綫图冊”。对我们物探人員和在校师生來說是良好的参考書。

偶极电剖面法
(地質填圖、找矿和勘探指南)

著 者 И. М. Б. Л. Н.
譯 者 吳 荣 祥
出 版 者 地 質 出 版 社
北京宣武門外永光寺西街3号
北京市審刊出版業營業許可證出字第050号
發 行 者 新 华 書 店
印 刷 者 地 賴 出 版 社 印 刷 厂
北京安定門外六鋪炕40号

印数(京)1—900册 1959年9月北京第1版
开本33"×46" 1/32 1959年9月第1次印刷
字数160 000 印张 6 3/16 插页 9
定价(10)3.40元
(另附理論曲綫图冊一袋計32幅，隨書发行)

目 录

前 言 論

第一章 偶极电剖面法的数学物理基础

§ 1. 方法的概述	12
§ 2. 决定获得偶极电剖面曲线可能性的条件	16
§ 3. 直流点电源的场	20
垂直接触	20
垂直层	21
倾斜接触 (一般性的解)	24
倾角 45° 的倾斜接触	26
倾角 30° 的倾斜接触	27
垂直接触和倾斜接触的场的比較	29
§ 4. 計算理論曲線的公式	30
垂直层	30
垂直接触	38
倾斜接触	41
倾角 30° 的倾斜接触	41
倾角 45° 的倾斜接触	49
§ 5. 求得理論曲線的近似方法	53
§ 6. 理論曲線量板	56
第二章 用偶极剖面法作地質填图的可能性	
§ 7. 接触的查明	62
垂直接触上曲線的特性	62
倾斜接触上曲線的特性	65
視电阻率曲線和接触面倾角、倾向間的关系	67
視电阻率曲線和介質电阻率比值之間的关系	68
接触上曲線特性的物理解釋	68
偶极剖面曲線和其他类型剖面曲線的比較	70
接触上实际曲線的例子	73
結 論	75
§ 8. 急陡层的查明	77
在均匀介質中层上曲線的特征	77
兩种介質接触处的层上的曲線特性	82
視电阻率曲線和介質电阻率比值、裝置大小間的关系	86

垂直层上曲綫特性的物理解釋	86
兩層上曲綫的特性	88
在急陡层上偶极剖面曲綫和其他裝置曲綫的比較	90
急陡层上实际曲綫的例子	93
結 論	97
§ 9. 傾斜层的查明及其产状要素的測定	99
厚度小的傾斜层上曲綫的特性	99
厚傾斜层上曲綫的特性	101
查明层的产狀要素的可能性	101
兩個傾斜层上曲綫的特性	103
傾斜层上曲綫特性的物理解釋	105
傾斜层上偶极剖面曲綫和其他裝置曲綫的比較	106
在緩傾层上实际曲綫的例子	106
結 論	112
§ 10. 查明透鏡体和陷落的可能性	114
§ 11. 偶极剖面曲綫的畸变	119
由浮土所引起曲綫的畸变	120
和地表起伏有关的曲綫畸变	123
結 論	126
第三章 偶极剖面法的工作方法和技术問題	
§ 12. 記录点	128
§ 13. 測綫方向的选择	129
§ 14. 层的产狀要素的确定	133
§ 15. 裝置种类的选择	137
§ 16. 裝置大小的选择	144
§ 17. 測网的确定	156
§ 18. 以电位計进行測量时野外工作的技术	161
§ 19. 非补偿測量法中的工作技术	165
第四章 偶极电剖面法工作組織和其結果整理的問題	
§ 20. 电剖面法所解决的地質問題以及偶极电剖面法应用 的条件	169
§ 21. 偶极剖面法結果的初步整理	174
§ 22. 偶极剖面曲綫的地質推断	175
§ 23. 解决最典型問題的例子	188
§ 24. 設計書和預算的編制	192
§ 25. 工作成果報告書	195
参考文献	197

前　　言

电剖面法或研究介質視電阻率在水平方向上的变化是为解决各种各样的地質問題而服务的。

借助于电剖面法可以調查潛伏構造，勘查鹽丘，对沉积岩和火成岩間的接触关系、个别沉积岩系和层位的接触关系、岩脉、小侵入体、構造裂隙、破碎帶、永久冻土发育区里的融区、基岩埋藏較深或相反地埋藏接近地表的地段进行填图。电剖面法同样可用来寻找并追索含煤地层、煤层、矿体、石英脉、含水层，查明喀斯特帶，研究輸管線路，測定鹽漬水在河口分布的边界等等。

上面列举的問題可用不同形式的电剖面法来解决。近年来，偶极电剖面获得越来越廣泛的发展，因为除联合剖面法（三极剖面）外，唯有它能大大提高所进行工作的地質效果。

近年来，地質部門着手进行比例尺为 1:50 000 的区域性地面填图，此时，电剖面法在整个地質勘探工作中的意义就越来越大。

可是，在現有的实用地球物理学方面的文献中对电剖面法的論述是极其概括的。至于偶极剖面法总共只有四篇文章，在其中只叙述了应用方法的最一般性的問題[5,6,7,10]。因此，大家对电剖面法首先是对于最有效方法之一的偶极剖面法的指导書感到迫切需要。

本書是总结苏联地質保矿部和煤炭工业部現有偶极剖面法資料的一种嘗試，資料中有的是由作者多年来在苏联各个地区在理論及生产實驗工作中取得的，就在这样的基础上对这一方法作系統的叙述。

本書可供地球物理探矿队中从事找矿和勘探的电法勘探工程师和其他工程技术人员作为指导書。此外，本書还可作为高等学校地球物理专业学生的教学参考書。

在选择資料及編写本書的过程中，所遇到的一些困难基本上

就在于缺乏其他各种电剖面法方面的类似的指导書。于是，不得不引入一系列新的概念和名詞，这些概念和名詞有待于討論、进一步发展和肯定。

作者对在进行試驗工作及理論研究时給予帮助的 A. A. 巴齐萊夫斯基(А. А. Базилевский)、Б. Е. 巴蘭諾夫(Б. Е. Баранов)、Ц. Я. 別列利科夫斯基 (Ц. Я. Берельковский)、З. С. 博尔佐娃 (З. С. Борзова)、Б. Г. 祖巴諾夫(Б. Г. Зубанов)、Н. А. 基尔皮奇尼科夫(Н. А. Кирпичников)、А. И. 庫塔紹夫 (А. И. Куташов)、И. Н. 利霍維茨卡娅 (И. Н. Лиховицкая)、Т. А. 馬雷舍娃(Т. А. Малышева)、В. П. 諾莫科諾夫 (В. П. Номоконов)、М. А. 奧科 (М. А. Окко)、В. Н. 奧洛芬斯卡娅(В. Н. Олофинская)、Е. С. 普扎契娃(Е. С. Пузачева)、М. П. 斯托利亚罗娃 (М. П. Столлярова)、Г. С. 特罗伊茨基 (Г. С. Троицкий)、Ф. Е. 舍夫丘克 (Ф. Е. Шевчук)、Е. А. 謝米亞金(Е. А. Шемякин)、В. В. 舒伐爾金 (В. В. Шувалкин)和И. П. 舒米林 (И. П. Шумилин) 等致以謝意。

作者同样对校訂本書手稿的 A. A. 查博洛夫斯基教授表示謝意。

对本書內容和結構上的批評和要求懇請投寄。Москва, Пыжевский, 7, Госгеолтехиздат.

緒論

已知电剖面法的种类有十种以上[12,13]。它们之间的区别在于供电电极和测量电极相互位置各不相同，并且除生产中尚未得到应用的两极和微分形式以外，都归结为应用三极、四极和偶极装置。

在四极装置中电极或接地通常排列在一条直线上，而且最边上的电极是用来向地下输入电流的；测量电极位于供电电极中间。如果供电电极中之一移得离测量电极如此远，以致它的影响小得微乎其微，这样我们就得到了三极装置。如果供电电极排列在测量电极的一边，并且供电接地间，以及测量电极间的距离比起供电线和测量线间的距离很小时，那么我们就获得了所谓偶极^①装置。根据供电电极与测量电极的位置的关系，偶极装置分别以 $A'AMN$ 和 $MNBB'$ 来表示（图 1）。

为了能够弄清各种形式电剖面，我们只比较几种主要的装置：三极、四极和偶极等就够了。这里应注意：到后两种装置可看作三极装置的相应联合（图 2）。

同样不应忘记，当偶极装置大小为一定比值时，其所得的曲线和用大小相应的三极装置测量后绘制的曲线丝毫没有差别（参阅第一章 § 2）。因而，本书中有关偶极子大小的比值大的偶极装置的全部介绍，实质上均可推广到三极电剖面法上去。

作者一般地认为把非对称剖面划分为偶极和三极电剖面法的做法是陈旧的。

应用某一种形式的电剖面法在一定的地质-地球物理条件下解决某些具体问题，在目前是不受任何限制的，尽管这些形式的电剖面法在效果上远不是等价的。

^①近几年来，名词“偶极装置”，是这样的装置，其中供电线和测量线间距和这些线的长度相等。

但在决定哪一种形式的电剖面法较为合理时，需考虑到这种

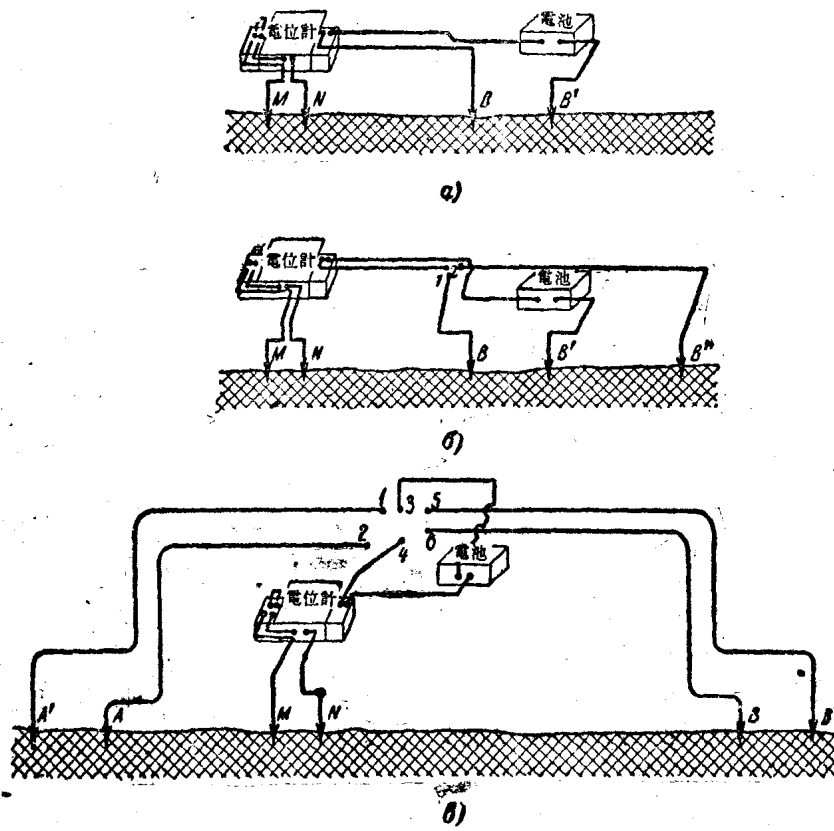


图 1. 偶极装置的形式

a—单侧偶极装置；b—有两个极距的单侧偶极装置；c—双侧偶极装置

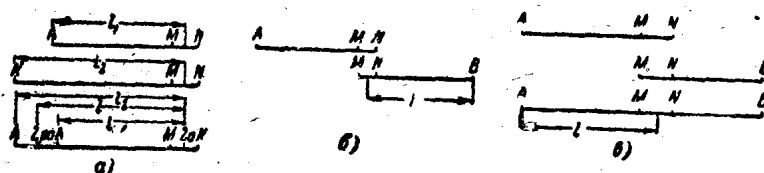


图 2. 由三极装置組成四极和偶极装置

a—偶极装置；b—三极装置；c—四极装置

方法的地質和經濟效果。

如果只考慮到一些地質理由，那麼在所有的情況下皆宜應用偶極電剖面法。可是，由於對某些斷面來說，偶極電剖面法的分辨能力較對稱電剖面法，尤其是較三極電剖面法並不高多少，這時就不允許僅僅局限於地質理由，同樣要考慮工作的效率和成本。

下面將說明：在所有的情況下，用偶極子大小的比值小的偶極裝置能解決的問題，用偶極剖面法是最為合理的。

當追索一些垂直薄層，它們間距離和裝置大小相近時，應該用雙側偶極剖面法，更適宜的是應用對稱剖面法，並且只當層和圍岩的電阻率相差不大，對稱裝置所得的結果不清晰時，才建議採用聯合三極剖面法和雙側偶極剖面法。

在電法勘探中偶極裝置可能性的研究是根據Л.М. 阿爾平的倡議於1939年開始的。他曾建議採用偶極裝置在傾角大的分界面上作剖面[2]。

應用偶極電剖面法作生產性的試驗首先是由作者於1940年在遠東某個金屬礦床上進行的，那裡在1940—1942年期間幾乎全是以偶極剖面法進行調查。這些工作的例子在文獻中可以見到[5,6]。

1947年在作者的領導和參加下，開始將偶極剖面法應用於普查和勘探煤田。目前在煤炭工業部的地球物理探矿隊中，偶極剖面法已成為最普遍的一種剖面法。

偶極剖面法同樣應用來解決工程地質和水文地質問題。1948年Н.М. 舒瓦爾-謝爾蓋也夫(Шувал-Сергеев)在莫斯科煤田上的工作，1952年 Г.С. 赫特里克(Г.С.Хитрик)在愛沙尼亞的油頁岩礦床上的工作及在1948—1949年期間作者在沃丁硫礦床上的工作，給這類研究奠定了基礎。

雖然偶極剖面法在1940—1942年在金屬礦床勘探中成功地應用過，可是，在後十年間在金屬礦床上几乎未被應用，除了1942—1944年間А.С. 謝苗諾夫(А.С.Семёнов)在實驗室條件下的關於

利用偶极裝置的剖面尋找導體的問題研究外[10]。

1951年用偶极剖面法解决金属矿床的地質問題再度提出。例如，尤其在1951—1952年間，生产队在T.A.馬雷舍娃(T.A.Малышева)的领导下以及在作者的答疑下曾用偶极剖面法查明并追索了庫尔斯克磁異常区的鐵矿床上含鐵石英岩层。而在1952—1953年間全蘇地球物理研究所的試驗队在A.B.維謝夫(Вешев)的领导下在金属阿尔泰的导电的硫化物矿体上进行了偶极裝置的野外工作[10]。

在有关金属矿床上偶极裝置电剖面法的其他工作中应指出烏拉尔地球物理托辣斯研究實驗室的工作，从1952年起这些工作在H.M.巴博奇金(H.M.Бабочкин)和Г.С.特魯什戈夫(Г.С.Трушков)领导下进行的。在这些研究中独特的是利用固定的供电偶极裝置和供給以低頻交流电。

1955年O.P.納查連柯(O.P.Назаренко)以自己在里海上的工作开始在生产中应用偶极剖面法寻找有利于聚集石油的構造。

从应用偶极剖面法工作的头几天起，在解釋所得資料时曾遇到若干困难，这是由于某些曲線的形狀有些奇特。用这一点便可以部分地解釋为什么地球物理工作者經過了一段漫長的时间后才公認了偶极剖面法。由于以上所述，本方法应用的同时，一直都伴随着对各种不同断面上曲線的特性的研究。

在1940—1941年間，以及以后在1947—1950年間，进行了在較簡單断面上偶极剖面理論曲線的計算。大部分曲綫是在作者領導下由“煤田地球物理勘探”托辣斯地質局專題研究組的成員Ц.Я.別利科夫斯基、З.С.博爾佐娃、Е.Г.祖巴諾夫、М.П.斯托利亞羅娃及Е.С.普扎契娃計算的。同时，Ц.Я.別利科夫斯基，除計算外还完成了傾斜接触面公式的計算。近几年来，作者曾获得包括有傾斜层的若干較复杂断面的理論曲綫。

对复杂断面來說，在其上方的电場还无法从数学上推得出，曲綫的性質只能借助于模型實驗加以研究。

1950年在莫斯科大学里在A.A.奧吉利維和在作者的領導下

进行了大量的模型实验工作。作者的工作主要在于研究导电和非导电层状模型上偶极剖面曲线的特性与层的倾角和浮土厚度的关系。**A.A. 奥吉利维**的模型实验的研究具有更广泛的性质。例如，特别是在他领导下曾完成了在喀斯特模型上极其独特的工作。

1952年在乌拉尔地球物理托辣斯研究实验室里由**H.M. 巴博奇金**和**Г.С. 特鲁什戈夫**用偶极装置共同完成了类似的模型实验的研究，在列宁格勒大学是于1953年—1954年間在谢苗诺夫领导下完成的。

此外，1952年**H.M. 巴博奇金**和**Г.С. 特鲁什戈夫**对固定供电偶极装置计算了偶极剖面的曲线。

第一 章

偶极电剖面法的数学物理基础

§ 1. 方法的總述

偶极电剖面法理論的基本原理是地下直流电場一般理論的直接結果。众所周知，輸入地下的电流在地下或地表上任意兩点間造成某一電位差。如果測量出这一電位差 ΔV 和輸入地下的电流强度 I ，那么就可以計算出有电阻率量网的、并与裝置几何大小及觀測地点地壳的地电断面有关的量值。此量值称为視电阻率。研究地表上測区内視电阻分布情况，或研究視电阻率隨电极間距离改变的变化特性，都能为地質結論提供資料。

偶极电剖面可使我們对視电阻率沿地区內选定方向（測綫）上的变化特性有所了解。

既然，上面已經說过，在作电剖面法时，其中也包括偶极剖面，是研究視电阻率的分布情况。因此，首先應該确定这个量值的計算方法。根据点电极和待測电位那点的距离 l 及由此点电极輸出的电流 I 計算 V 的公式是一个根本公式。这公式有着以下形式：

$$V = \frac{I\rho}{2\pi l} \quad (1)$$

其中 ρ 表示地球的电阻率，这时，把地球看作是均匀的。

实际上，电場是由两个接地（或接地系統）引起的，这两个接地和电源的不同极相联。当把 A' 和 A 分別跟負正极联結时，两个接地 $A'A$ 引起总电位便等于：

$$V_M = \frac{\rho I}{2\pi} \left(\frac{1}{l_M - b} - \frac{1}{l_M + b} \right), \quad (2)$$

其中 l_M 是供电偶极①中心和电极 M 间的距离， $b = pa$ 是供电电极距的二分之一。

在实践中测量的并不是电位，而是电位差。图 1 上所示的就是我们以后称之为偶极的装置，其电位差等于：

$$\Delta V = V_M - V_N = \frac{\rho I}{2\pi} \left[\frac{1}{l-a(p+1)} - \frac{1}{l+a(p-1)} - \frac{1}{l-a(p-1)} + \frac{1}{l+a(p+1)} \right],$$

或经过简单的转换后

$$\Delta V = \frac{\rho I 4pa^2 l}{\pi [l^2 - a^2(p+1)^2] [l^2 - a^2(p-1)^2]},$$

最后，经过适当的转换后

$$\Delta V = \frac{\rho I 4pa^2 l}{\pi \{ [l^2 - a^2(p^2-1)]^2 - 4a^2 l^2 \}}, \quad (3)$$

其中 l 是偶极中心间的距离 a 是测量偶极距的二分之一， p 是供电偶极和测量偶极大小的比值。

如果， $l_2 = l + pa$ 以及 $l_1 = l - pa$ ，则

$$\Delta V = \frac{\rho I a (l_2^2 - l_1^2)}{\pi (l_1^2 - a^2) (l_2^2 - a^2)}, \quad (3')$$

由表达式 (3) 和 (3')，我们求得在用偶极子有限大小的偶极装置测量时测定均匀介质电阻率的公式：

$$\rho = \frac{\pi \{ [l^2 - a^2(p^2-1)]^2 - 4a^2 l^2 \}}{4pa^2 l} \cdot \frac{\Delta V}{I} \text{ 或 } \quad (4)$$

$$\rho = \frac{\pi (l_1^2 - a^2) (l_2^2 - a^2)}{a (l_2^2 - l_1^2)} \cdot \frac{\Delta V}{I} \quad (4')$$

在用梯度装置，即用极小的测量偶极 MN 的装置研究电场时，测量电极间的电位差按下式计算：

①作者应用名词“偶极”并不是指这一名词的一般意义，即无限接近的符号相反的两电源的系统，而是这样一些电源的总体，这些电源之间的距离小于这些系统间的距离——编者按。

$$\Delta V_{MN} = MN \cdot E_{MN},$$

其中 E_{MN} 是場強沿 MN 方向的分量。

由此等式可導出較簡單的公式：

$$\rho = \frac{2\pi l_1^2 l_2^2}{l_2^2 - l_1^2} \cdot \frac{E_{MN}}{I}. \quad (4'')$$

公式(1-4)是用来确定均匀介質上偶极裝置的电場的。

因为实际上研究是在不均匀介質上进行的，所以按公式(4-4'')算出的測量結果是視电阻率。如同用普通裝置一样，在用偶极裝置作剖面法时，觀測結果按下式整理：

$$\rho_k = K \frac{\Delta V}{I},$$

K 是取决于裝置大小的系数。

系数 K 按 F 式来計算：

$$K = \frac{\pi \{ [l^2 - a^2(p^2 - 1)]^2 - 4a^2 l^2 \}}{4pa^2 l}, \quad (5)$$

$$K = \frac{\pi(l_1^2 - a^2)(l_2^2 - a^2)}{a(l_2^2 - l_1^2)}, \quad (5')$$

$$K = \frac{2\pi l_1^2 l_2^2}{l_2^2 - l_1^2}. \quad (5'')$$

假如在野外条件下測量的电位差以毫伏計，电流强度以厘安培計，則在公式(5)、(5') 和 (5'') 的分母中应引入倍数10，

众所週知[13]，

$$E_{MN} = j\rho,$$

其中 j 是电流密度，而 ρ 是介質电阻率。于是，对梯度裝置來說，視电阻率可表成以下形式：

$$\rho_k = \frac{K}{I} \cdot j\rho.$$

从所得表达式中可看出，視电阻率（在一定电流强度下对具体裝置來說的）和电流密度、介質电阻率成比例，这样使我們易于在物理上解釋电剖面法曲綫的異常特性。

野外調查用以下三种形式的偶极裝置来进行的：有一个极距的單側偶极裝置（图1,*a*），有两个极距的單側偶极裝置（图1,*b*）及双側偶极裝置（图1,*c*）①。

在用双側偶极裝置以及偶极子大小的比值大的單側裝置工作时，小的偶极始終是測量偶极（考慮到現代的工作技术）。在繪制曲綫时視电阻率值是对此偶极中心來說的。

在用單側等偶极裝置进行野外調查时，无论哪一個偶极都可作为測量偶极。在平緩傾斜的情况下，較方便的是选择这样的偶极作为測量偶极，它相对于另一个偶极排列在层的傾向的一边②。在按單側剖面結果繪制双側曲綫时，每个偶极对每条曲綫來說都是測量偶极。

为了便于解釋起見，在每条曲綫下面以同一水平比例尺画出相应偶极裝置的电极位置。測量偶极是以 MN 表示的，即所測視电阻率值是对裝置中这偶极的中心來說的；測量偶极左边的偶极以 $A'A$ 表示之，而右边的則以 $B'B$ 表示（为区别于对称裝置起見，离測量偶极較远的接地以帶有較高級次的字母来表示）。

按照以上所述，右边裝置以 $MNBB'$ （图1,*a*）表示，或者有两个极距的裝置以 $MNBB'B''$ （图1,*b*）表示，左边裝置以 $A'AMN$ （图1,*c*）表示，或者有两极距的裝置以 $A''A'AMN$ 表示③。

为了使野外裝置的代号不发生变化，建議根据偶极相对于东南西北四方的位置来表示这些裝置。如果供电偶极位于測量偶极以西，应將裝置表示为 $A'AMN$ ，若位于測量偶极以东，则以 $MNBB'$ 表示。当偶极位置沿南北方向排列时 $A'AMN$ 便表示这样的裝置，其中供电偶极位于測量偶极以南。

在繪制曲綫时，建議用实綫描繪左边裝置（ $A'AMN$ ）的曲

①以上例舉的几种形式的偶极裝置是基本的。在个别情况下，主要在詳查異常时，应用有数个測量偶极的裝置或只移动測量偶极进行測量。

②上述的建議應推广到有厚度較小层的断面上去。

③原文为 $A''A'AMN$ ，但按圖來說应以 $A''A'AMN$ 表示（譯者注）。

綫，以虛綫描繪右边裝置 ($MNBB'$) 的曲綫。

裝置中偶極大小，如同在測井中那样來表示較為方便，即電極間以米計的距離數寫在相應字母之間。例如，對有兩極距的單側偶極裝置來說： $MN = 10$ 米， $A'A = 10$ 米， $A''A = 60$ 米，較小裝置偶極間距離為30米，較大裝置偶極間的距離為65米，裝置大小可表示為： $A''60A'10A20M10N$ 。

用偶極電剖面法所得的野外觀測結果是以視電阻率沿測綫的變化曲綫形式表示出來。這些曲綫作為劃分所尋找岩層和地層的原始資料。

為了正確地解釋所得結果以及確定研究對象的位置，必須知道，某種對象在曲綫上是怎樣表現出來的。為此，必須要計算並繪制在各種不同具體斷面上的理論曲綫。

在繪制曲綫時，組成斷面的介質將看作為均勻的、各向同性的、其電阻率為已知的。

§ 2. 決定獲得偶極電剖面曲綫可能性的條件

如緒論中已指出的那樣，偶極裝置和四極裝置乃是三極裝置的一定的組合（參閱圖2）。因而，對這兩個裝置來說，視電阻率可根據組成偶極和四極的三極裝置測得的視電阻率來求得。

例如，由接地 A 和 B 所造成的對稱四極裝置的場，可以用兩個三極裝置造成的總電場形式表示出來：

$$E_{AB} = E_A + E_B,$$

其中 E 是每種裝置的場強。

等式兩端各乘以 $\frac{1}{l}\pi l^2$ ，其中 l 是供電接地和測點間的距離，

我們便求得

$$\frac{E_{AB}}{I} \pi l^2 = \frac{1}{2} \left(\frac{E_A}{I} 2\pi l^2 + \frac{E_B}{I} 2\pi l^2 \right).$$

因為對三極梯度裝置 ($\rho_{k(A)}$ 和 $\rho_{k(B)}$) 和對稱梯度裝置 ($\rho_{k(AB)}$) 說來，視電阻率按[13]分別等於：